

ACM에 의한 태양광 발전의 최대전력점 추적 알고리즘 개발

고재섭, 최정식, 정철호, 정병진, 김도연, 정동화
 순천대학교 공과대학 정보통신공학부

Maximum Power Point Tracking Algorithm Development of Photovoltaic by ACM(Approximation Control Method)

Jae-Sub Ko, Jung-Sik Choi, Chul-Ho Jung, Byung-Jin Jung, Do-Yeon Kim, Dong-Hwa Chung
 School of Information & Communication Engineering, Suncheon National Univ.

Abstract - This paper is proposed a approximation control method(ACM) for the maximum power of a photovoltaic system. It is designed for power systems application and utilities. The proposed Maximum Power Point Tracking(MPPT) control has the advantage to provide a new simple way to approximate the optimal or rated voltage, the optimal or rated current and maximum power rating produced by a solar panel and the photovoltaic inverter. And this straightforward method has the advantage that P_{max} and V_{op} can be approximated using the same variable as the dynamic model without using complicate approximations or Taylor series. This paper is proposed MPPT using AMC using weather condition of domestic moderate program technique. This paper is proposed the experimental results to verify the effectiveness of the new methods.

1. 서 론

태양전지를 효율적으로 동작시키기 위하여 PV 어레이 출력을 항상 최대 로 동작시킬 필요가 있다. 태양광의 손실 최소화과 PV 어레이로부터 최대 전력을 얻을 수 있도록 제어가 가능한 MPPT(Maximum Power Point Tracking)에 관한 연구가 다양하게 이루어지고 있다.[1]-[4]

MPPT 제어를 위한 종래의 방식은 CV(Constant Voltage) 방식, PO(Perturbation and Observation) 방식 및 IC(Incremental Conduction) 방식이 있다.[5] 종래의 동적 모델은 인버터에 의해 발생하는 최적 전압과 최대 전력을 발생시킬 수 없다. 또한 이 모델은 직접적으로 전력 흐름 해석을 위한 실용성이 없다. 이러한 문제를 해결하기 위하여 본 논문에서는 PV 어레이를 위한 dc 측 동적 방정식과 ACM(Approximation Control Method)을 사용하여 계통 연계를 위한 새로운 수학적인 동적 모델을 제시한다. AMC은 근사적인 해법으로 반복적으로 나타나는 최적 전압과 최대 전력을 결정하며 계산 시간을 절약할 수 있는 장점을 가진다. 태양광 발전 시스템을 구성하고 실험결과 분석을 통하여 본 논문에서 제시한 방식의 타당성을 입증한다.

2. 태양광 MPPT 제어

제안한 $I-V$ 특성 모델 방정식은 태양 전지에 대한 빛의 효과적인 강도, $I-V$ 곡선을 위한 특정 상수, 그림자 선형 요인 및 각 전지를 위한 단락회로 정격전류와 개방회로 전압을 고려한다.

$$I(V) = \alpha \times I_{max} - \alpha \times I_{max} \times \exp\left(\frac{V}{b \times (\gamma \times \alpha + 1 - \gamma) \times V_{max}} - \frac{1}{b}\right) \quad (1)$$

여기서 V 는 PV 인버터 시스템을 위한 동작 전압이며 α 는 태양 전지판에 입사되는 빛의 강도를 백분율로 나타낸다. 그리고 b 는 지수함수의 $I-V$ 특성 상수이며 γ 는 V_{max} 에 따른 차광 선형 계수이다. 전압에 대한 전류의 동적 방정식을 얻기 위하여 식 (1)을 전압에 대하여 한번 미분하면 식 (2)와 같다.

$$\frac{dI(V)}{dV} = \frac{I(V) - \alpha \times I_{max}}{b \times (\gamma \times \alpha + 1 - \gamma) \times V_{max}} \quad (2)$$

식 (1)에 전압 V 를 곱하면 PV 인버터의 전체 출력인 $P-V$ 특성 방정식을 얻는다.

$$P = V \times I(V) = \alpha \times V \times I_{max} - \alpha \times V \times I_{max} \times \exp\left(\frac{V}{b \times (\gamma \times \alpha + 1 - \gamma) \times V_{max}} - \frac{1}{b}\right) \quad (3)$$

여기서 $I(V)$ 는 PV 인버터의 전체 출력 전류를 나타낸다.

식 (3)을 전압으로 미분하면 다음 식과 같다.

$$\frac{dP}{dV} = i + \frac{P \times (1 - \alpha \times I_{max} / i)}{b \times (\gamma \times \alpha + 1 - \gamma) \times V_{max}} \quad (4)$$

태양 전지에 대한 효과적인 100% 빛의 강도를 위하여 태양 전지 어레이에서 $I(0)$ 는 단락회로의 정격전류이고 V_{max} 는 개방회로의 정격 전압을 나

타낸다. I_{max} 는 그림 1의 실험적인 $I-V$ 특성곡선을 이용하여 $V=0$ 일 경우 식 (1)을 풀면 얻을 수 있다.

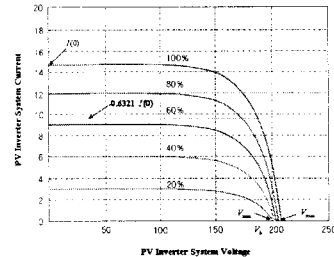


그림 1 실험에 의한 $I-V$ 특성

다음 식은 I_{max} 와 태양 전지에 대한 단락전류 사이의 관계를 나타낸다.

$$I_{max} = \frac{I(0)}{\alpha - \alpha \times \exp\left(\frac{-1}{b}\right)} \quad (5)$$

그림 1의 $I-V$ 특성곡선은 α , b , γ , V_{min} 및 V_{max} 를 계산하는데 사용한다. 특성상수 b 는 다음 식으로부터 얻을 수 있다.

$$b = 1 - V_b / ((\gamma \times \alpha + 1 - \gamma) \times V_{max}) \quad (6)$$

여기서 V_b 는 그림 1의 특성곡선을 사용하여 전류가 0.6321I(0)일 때 근사화 된다.

γ 는 식 (7)과 같이 빛의 최대 강도에서 최소 강도까지의 전압(V_{max}) 손실률로 정의한다. V_{min} 은 태양 전지에 20 이하의 빛의 강도가 입사될 때를 위한 태양 전지 어레이의 개방회로에 대한 정격전압이다.

$$\gamma = 1 - V_{min} / V_{max} \quad (7)$$

그림 1에서 특정 빛의 강도에 대한 최대 전력량을 예측할 수 있으며 이 값은 MPPT라고 한다. MPPT는 식 (3)을 미분하여 영으로 놓고 풀면 최적 전압(V_{op})을 얻을 수 있는 조건을 구할 수 있다.

$$\alpha \times I_{max} + \exp\left(\frac{V_{op}}{b \times (\gamma \times \alpha + 1 - \gamma) \times V_{max}} - \frac{1}{b}\right) \times \left(-\alpha \times I_{max} - \frac{\alpha \times V_{op} \times I_{max}}{b \times (\gamma \times \alpha + 1 - \gamma) \times V_{max}}\right) = 0 \quad (8)$$

그러나 식 (8)의 해를 찾는 것은 불가능하며 유일한 해법은 수치적인 방식이다. 그러나 이 방식은 시행착오 반복법이 요구되며 실용적인 해법은 아니다.

본 논문에서는 식 (8)을 풀기 위해 AMC를 제시하여 MPPT에 의해 계산된 P_{max} 의 근사 해를 찾는다.

AMC은 그림 2에서 $I-V$ 곡선의 접점을 찾는다. $I-V$ 곡선의 접점은 P_{max} 를 발생하는 최적 전류(I_{op})와 최적 전압(V_{op})이다. 그림 2에서 $I-V$ 곡선을 이용하여 선형 전류 방정식은 초기치와 최종치로부터 결정된다.

$$I(V) = \alpha \times I(0) \times (I - V / V_{max}) \quad (9)$$

접점에서 $I-V$ 곡선의 기울기는 선형 전류 방정식의 기울기에 근사하게 된다.

$$\frac{dI}{dV} \cong \frac{dIL}{dV} \quad (10)$$

이 근사화에 의해 V_{op} 와 V_{max} 는 서로 근접한다.

전류방정식 (1)과 선형 전류 방정식 (9)는 다음 식과 같이 한번 미분한다.

$$\frac{dI}{dV} = \left(\frac{\alpha \times I_{max}}{b \times (\gamma \times \alpha + 1 - \gamma) \times V_{max}}\right) \times \exp\left(\frac{V}{b \times (\gamma \times \alpha + 1 - \gamma) \times V_{max}} - \frac{1}{b}\right) \quad (11)$$

$$\frac{dIL}{dV} = \frac{-\alpha \times I(0)}{V_{max}} \quad (12)$$

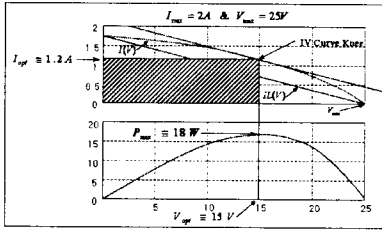


그림 2 AMM에 의한 P-V와 I-V 곡선

V를 얻기 위하여 위 두 식을 같게 놓고 V_{op}의 해를 구한다.

$$V_{op} = b \times (\gamma \times \alpha + 1 - \gamma) \times V_{max} \times \left(\frac{1}{b} + \ln \left(\frac{\gamma \times \alpha + 1 - \gamma \times b \times I(0)}{\alpha \times I_{max}} \right) \right) \quad (13)$$

식 (5)을 식 (13)에 대입하여 간략화 한 V_{op}는 다음 식과 같다.

$$V_{op} = (\gamma \times \alpha + 1 - \gamma) \times V_{max} + b \times (\gamma \times \alpha + 1 - \gamma) \times V_{max} \times \ln \left[b \times (\gamma \times \alpha + 1 - \gamma) \times \left(1 - \exp \left(\frac{-1}{b} \right) \right) \right] \quad (14)$$

식 (14)를 식 (1)에 대입하여 I_{op}를 구한다.

$$I_{op} = \alpha \times I_{max} \times \left[1 - b \times (\gamma \times \alpha + 1 - \gamma) \times \left(1 - \exp \left(\frac{-1}{b} \right) \right) \right] \quad (15)$$

근사 P_{max}는 식 (14)와 식 (15)를 곱하여 구한다.

$$P_{max} = V_{op} \times I_{op} \approx V_{op} \times I_{op} \quad (16)$$

마지막으로 식 (8)에서 V_{op}를 풀면 P_{max}, I_{op}와 V_{op}의 정확한 값을 구할 수 있다. P_{max}의 근사 범위에 들기 위한 가장 좋은 방식은 그림 2를 이용하여 기하학적 해석과 다양한 상수에 대한 물리적 조건을 정의하여 얻는다. 예를 들면, 식 (22)에서 변수 b=0은 무 손실이 아닌 이상적인 태양 전지에 에러를 나타낸다.

$$P \in A \text{ where } A \text{ is } \{P \in \mathbb{R} \ 0 \leq P \leq P_{max}\} \quad (17)$$

$$V \in B \text{ where } B \text{ is } \{V \in \mathbb{R} \ 0 \leq V \leq V_{max}\} \quad (18)$$

$$I \in C \text{ where } C \text{ is } \{I \in \mathbb{R} \ 0 \leq I \leq I(0)\} \quad (19)$$

$$\alpha \in D \text{ where } D \text{ is } \{\alpha \in \mathbb{R} \ 0 < \alpha < 1\} \quad (20)$$

$$b \in E \text{ where } E \text{ is } \{b \in \mathbb{R} \ 0 < b < 1\} \quad (21)$$

$$P_{max} = I(0) \times V_{max} \text{ if and only if } b = 0 \quad (22)$$

기하학적 해석에 의해서 P_{max}에 대하여 다음 식과 같은 두 개의 부등식을 얻을 수 있다.

$$\int_0^{V_{max}} I(s) ds > I(V_{op}) \times V_{op} = P_{max} \quad (23)$$

$$P_{max} \geq I_{op} \times V_{op} > 0.315 \times I(0) \times V_{max} \quad (24)$$

여기서 P_{max}는 식(1)에 의해 얻어진 곡선의 내부에 최대 직사각형 영역에 위치한다. 일반적으로 P_{max}는 식 (23)과 같이 전체 전류 곡선 면적보다 작다. P-V 특성곡선은 유일한 최대 전력점을 가지는 P_{max}는 근사화 P_{max}와 같거나 그 이상이다.

마지막으로 ACM은 최적 전압과 최적 전력을 계산하는 대신에 V_{op}와 I_{op}를 얻기 위하여 전류 방정식과 선형 전류 방정식을 이용하여 해를 얻는다. 그런 다음 P_{max}는 추정한다. 또한 ACM은 V_{op}와 근사 해를 얻을 수 있는 장점을 가지고 있다. ACM은 테일러 급수, 연속 분수 전개 및 다 근사법을 사용하지 않은 구 모델과 같은 결과를 도출 할 수 있다. 그림 3은 MPPT를 수행하기 위한 제어 시스템을 나타낸다.

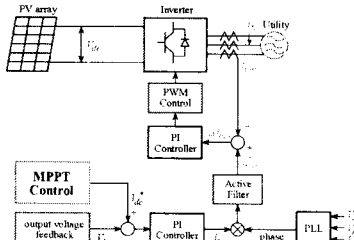


그림 3 MPPT를 위한 제어 시스템

3. 시스템의 성능결과

그림 4에서 그림 7은 일사량을 일정하게 두고 각각의 MPPT 알고리즘에 따라 변화되는 전류를 나타낸다. 각각의 그림에서 위쪽의 파형은 전압을 나타내고 아래쪽의 파형은 전류의 파형을 나타낸다. 결과 파형의 전압간격은 100[V/div], 전류의 간격은 0.5[A/div]로 설정하였다. 그림 4는 종래의 CV MPPT 방식의 응답특성이고, 그림 5는 IC MPPT 방식, 그림 6은 PO MPPT 방식 및 그림 7은 본 논문에서 제시한 ACM MPPT 방식의 응답특성을 나타내었다. 본 논문에서 제시한 MPPT 방식의 응답특성이 종래의 방식에 비해 미소하게 전류값이 증가하였다. 전류는 미소하게 증가하였지만 태양광 발전의 시간 및 누적 발전량을 고려할 때 그 양은 매우 크게 나타났다. 따라서 본 논문에서 제시한 방식은 종래의 타 방식과 비교하여 우수한 성능을 얻을 수 있었다.

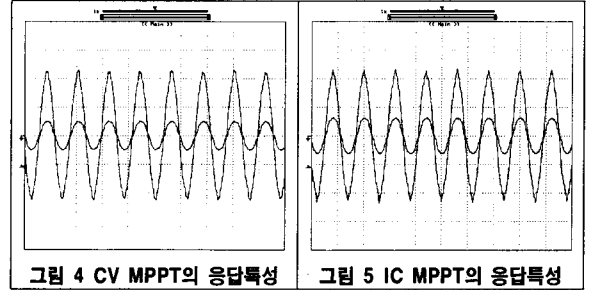


그림 4 CV MPPT의 응답특성

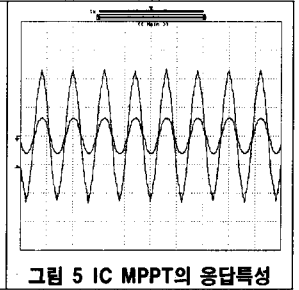


그림 5 IC MPPT의 응답특성

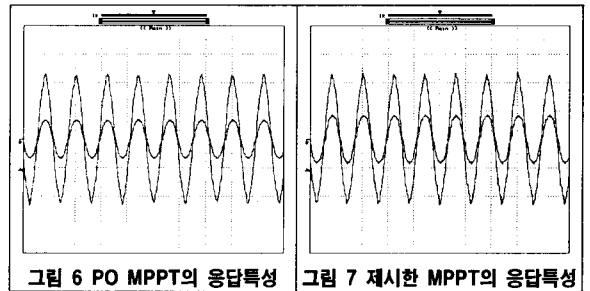


그림 6 PO MPPT의 응답특성

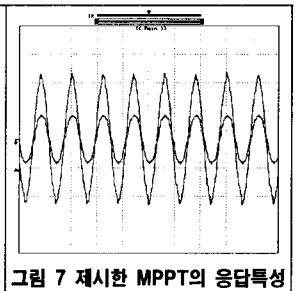


그림 7 제시한 MPPT의 응답특성

4. 결론

본 논문에서는 태양광 발전시스템의 MPPT 제어를 위하여 근사적인 해법인 ACM을 제시하였다. ACM은 근사적인 해법으로 계산 시간을 절약할 수 있는 장점을 가진다.

종래의 방식에 의한 MPPT 제어는 PV 어레이의 상호작용, 제어기 및 인버터 등을 표현해야 하는 동적 모델은 다양한 파라미터에 의하여 매우 복잡하고 종래의 동적 모델은 인버터에 의해 발생하는 최적 전압과 최대 전력을 발생시킬 수 없다. 또한 이 모델은 직접적으로 전력 흐름 해석을 위한 실용성이 없는 문제점을 가지고 있었다. 그러나 ACM은 근사적인 해법으로 반복적으로 나타나는 최적 전압과 최대 전력을 결정하며 계산 시간을 절약할 수 있는 장점을 가진다.

ACM을 이용한 MPPT제어는 종래의 방식에 비하여 전류가 상승하였으면 이러한 전류 상승은 발전시간, 누적발전량을 고려하였을 때 매우 우수한 제어 성능을 나타내었다. 태양광 추적식은 고정식에 비하여 일사량이 적은 오전이나 오후 시간대에 최대 50% 이상의 에너지 절감 효과를 얻을 수 있었다.

본 논문에서 제시한 ACM을 이용한 MPPT제어의 응답특성이 양호하게 나타났으며, 태양광 추적식도 만족할만한 결과를 얻을 수 있었다. 따라서 본 연구에서 제시한 ACM과 태양광 추적식의 타당성을 입증할 수 있었다.

[참고 문헌]

- [1] C. Hua, J. Lin and C. Shen, "Implementation of a DSP-controlled photovoltaic system with peak power tracking," IEEE Trans. on IE, vol. 45, pp. 99-107, 1998.
- [2] E. Koutroulis, K. Kalaizakis and N. C. Voulgaris, "Development of a microcontroller-based photovoltaic maximum power point tracking control system," IEEE Trans. on PE, vol. 16, pp. 46-54, 2001.
- [3] M. Matsui, T. Kiano, D. H. Xu and Z. Q. Yang, "New MPPT control scheme utilizing power balance at dc link instead of array power detection," in Proc. IPEC-Tokyo'00, vol. 1, pp. 164-169, 2000.
- [4] T. Noguchi, S. Togashi and R. Nakamoto, "Short-current pulse based adaptive maximum power point tracking for photovoltaic power generation system," Proc. IEEE, vol. 1, pp. 157-167, 2000.
- [5] G. J. Yu, et al., "A study on the MPPT control algorithm and efficiency evaluation method," KIPE Trans., vol. 6, no. 2, pp. 164-172, 2001.